

شناسایی مولکولی و تجزیه‌تحلیل تبارزایی ویروس موزاییک خیار زیرگروه IB جداشده از گیاه دارویی ختمی

داود کولیوند^{۱*}, نعمت سخن‌دان بشیر^۲ و سویل نعمت‌الهی^۳

^۱دانشجوی دوره دکتری بیماری‌شناسی گیاهی، گروه گیاه‌پزشکی، دانشگاه تبریز

^۲دانشیار، گروه گیاه‌پزشکی، دانشگاه تبریز

^۳استادیار، گروه گیاه‌پزشکی، دانشگاه آزاد اسلامی واحد تبریز

مسئول مکاتبه: D.koolivand@gmail.com

تاریخ پذیرش: ۹۱/۵/۲۳ تاریخ دریافت: ۹۱/۵/۲۳

چکیده

ویروس موزاییک خیار (CMV) از جنس *Cucumovirus* و خانواده *Bromoviridae* می‌باشد. ختمی گیاهی یکساله و خودرو از تیره پنیرکیان است که گل، میوه و ریشه آن مصارف دارویی دارد. در این تحقیق، پنج نمونه مشکوک به آلوگی با CMV از گیاه ختمی جمع‌آوری و وجود CMV با آزمون‌های سرولوژیکی از جمله DAS-ELISA، از نمونه‌ها ردیابی شد. از بین آن‌ها، جدایه Ta-alth انتخاب و پس از استخراج RNA کل از گیاه آلوگی به آن، با استفاده از آغازگرهای اختصاصی ناحیه ژن پروتئین پوششی، RT-PCR انجام و قطعه 675 جفت بازی تکثیر شده درون پلاسمید pTZ57R/T همسانه‌سازی و سپس تبدیل سلول‌های مستعد *Escherichia coli* سویه DH5α انجام گردید. جهت حصول اطمینان از قرارگرفتن قطعه موردنظر درون حامل، تجزیه‌تحلیل پلاسمید نوترکیب خالص‌سازی شده با استفاده از آنزیم‌های برشی انجام و توالی قطعه تکثیری تعیین گردید. توالی به دست آمده با استفاده از برنامه GeneDoc با توالی‌های متناظر سایر جدایه‌های CMV از ایران و نقاط دیگر دنیا (موجود در بانک ژن) مقایسه و درخت تبارزایی با استفاده از روش Neighbor-Joining(NJ) و برنامه TREECON رسم گردید. تجزیه‌تحلیل تراکف ژن پروتئین پوششی جدایه Ta-alth نشان داد که این جدایه متعلق به زیرگروه IB ویروس موزاییک خیار می‌باشد. این اولین گزارش از آلوگی ختمی به CMV در ایران است.

واژه‌های کلیدی: تجزیه‌تحلیل تبارزایی، ختمی، ویروس موزاییک خیار، همسانه‌سازی

مولکولی و مقایسه خصوصیات مولکولی این جایه با استفاده از تعیین توالی ژن پوشش پروتئینی با سایر جایه‌های موجود در بانک ژن می‌باشد.

مواد و روش‌ها منبع نمونه

تعداد پنج نمونه برگ ختمی که بر اساس علائم توصیف شده برای ویروس موزاییک خیار، مشکوک به آلووگی توسط این ویروس بودند، در تابستان 1389 از شهر تبریز جمع‌آوری گردید. نمونه‌ها درون کیسه‌های پلاستیکی تا انجام مراحل بعدی در یخچال و قسمتی از نمونه‌ها بر روی کلرید کلسیم خشک و داخل فریزر 20- نگه‌داری شدند.

دیبا

آزمون دیبا (dot-immunobinding assay) با استفاده از غشای نیتروسلولوزی که در ابعاد مناسب بریده شده بود انجام گردید (بال 1990). این غشا در آب مقطر استریل به مدت 15 دقیقه غوطه‌ور و سپس روی دستمال کاغذی قرار داده شد تا کاملاً خشک گردد. مقدار 15 میکرولیتر از عصاره گیاهی استخراج شده از نمونه‌های آلووه همراه با عصاره گیاهی نمونه سالم به صورت لکه روی غشاء نیتروسلولوزی قرارداده شد. حائل سازی با استفاده از بافر حائل حاوی دو درصد BSA (bovine serum albumin) به مدت دو ساعت در دمای اتاق همراه با استفاده از شیکر در دور پایین انجام گرفت. سپس سه بار و هر بار به مدت پنج دقیقه با استفاده از بافر حائل شستشو داده شد. پس از شستشو IgG-CMV (DSMZ, Germany) با نسبت 1:500 به غشاء نیتروسلولوزی اضافه و غشاء به مدت دو ساعت در دمای اتاق در دور پایین روی شیکر قرار گرفت. شستشوی بعدی مطابق مرحله قبل انجام و کانجوگیت عمومی (DSMZ, Germany) با نسبت 1:1000 اضافه و مانند مرحله قبل به مدت دو ساعت نگهداری شد. در نهایت پس از چهار بار شستشو با بافر حائل، بافر آکالین فسفاتاز حاوی 16/5 میکرولیتر NBT و 33 میکرولیتر

مقدمه

ویروس موزاییک خیار عضو تیپ جنس *Cucumovirus* و خانواده *Bromoviridae* می‌باشد که ذرات اینو-متیریک و ژنوم RNA تکرشته‌ای با قطبیت مثبت و سه قطعه‌ای دارد (بونت و همکاران 2005). دامنه میزبانی این ویروس بسیار وسیع و توسط بیش از 80 گونه شته به صورت ناپایا منتقل می‌شود (اسریو و همکاران 2003). گیاهان دارویی مانند پونه، نعنا و... از میزبان‌های این ویروس هستند (داوینو و همکاران 2012). ختمی (*A. officinalis*) از تیره پنیرکیان یکساله است که گل، میوه و ریشه آن مصارف دارویی دارد (سوتوسکا و همکاران 2009). گلهای صورتی، قرمز و سفید ختمی برای روکش داروها استفاده می‌شود. ویروس موزاییک خیار در اغلب مناطق آب و هوایی به صورت بومی وجود دارد و در برخی از مناطق سبب واگیری‌های شدید در محصولاتی مانند سبزی‌ها، میوه‌ها و علوفه‌ها می‌شود. جایه‌های CMV بر اساس معیارهای مختلف از جمله روابط سرولوژیکی، نقشه پیتیدی پوشش پروتئینی، دورگ‌گیری اسید نوکلئیک ویروس و نیز علائم بیماری در دو زیرگروه اصلی قرار می‌گیرند (داوینو و همکاران 2005). تنوع ژنتیکی بین جایه‌های ویروس موزاییک خیار بسیار بالاست و جایه‌ها با توجه به داده‌های مولکولی و میزان تشابه در RNA های آن‌ها در سه زیرگروه IA، IB، II و قرار می‌گیرند. جایه‌های زیرگروه یک دارای 91 تا 99 درصد و جایه‌های زیرگروه دو دارای 76 تا 84 درصد مشابه هستند (بونت و همکاران 2005). به طور کلی جایه‌های متعلق به زیرگروه یک در گیاهان پراکندگی بیشتری نسبت به جایه‌های زیرگروه دو دارند، به صورتی که در برخی از موارد 80 درصد تمامی جایه‌های ردیابی شده متعلق به زیرگروه یک هستند و در این بین فراوانی زیرگروه IA نسبت به IB بیشتر است (گالیتلی 2000).

هدف از این تحقیق ردیابی و شناسایی جایه‌های ویروس موزاییک خیار از گیاه دارویی ختمی، گروه‌بندی جایه منتخب با استفاده از روش‌های سرولوژیک و

آزمون RT-PCR

برای هر واکنش رونویسی معکوس، ۰/۴ میکرولیتر از آغازگر معکوس ($5\text{ pmol}/\mu\text{l}$) با ۱/۱ میکرولیتر از آب RNA استریل دیونیزه مخلوط شده و یک میکرولیتر از RNA استخراج شده به هر میکروتیوب اضافه و میکروتیوب‌ها در دمای ۷۰ درجه سانتی‌گراد به مدت پنج دقیقه قرار داده شدند. نمونه‌ها بلافاصله به روی بخ انتقال یافتد تا به‌طور سریع سرد شوند. سپس ۷/۵ میکرولیتر از ترکیب محتوی دو میکرولیتر بافر واکنش $10\times$ ، یک میلی مولار dNTPs، ۴۰ واحد RNasin و ۲۰۰ واحد (۰/۵ میکرولیتر) آنزیم ترانس-کریپتاز M-MuLV به هر لوله اضافه شد و لوله‌ها در ۳۷ درجه سانتی‌گراد به مدت ۱۵ دقیقه قرار گرفتند. سپس، لوله‌ها در ۴۲ درجه سانتی‌گراد به مدت ۶۰ دقیقه در ترموسایکلر قرار داده شدند. پس از انجام واکنش، آنزیم ترانس-کریپتاز معکوس با قراردادن لوله‌ها در ۷۰ درجه سانتی‌گراد به مدت ۱۰ دقیقه غیرفعال گردید. واکنش زنجیره‌ای پلی‌مراز در حجم نهایی ۲۰ میکرولیتر تهیه شد که محتوی دو میکرولیتر بافر $10\times$ ، دو میلی مولار Taq DNA ۲/۵ pmol، MgCl_2 ۱/۲۵ واحد آغازگر مستقیم و ۲/۵ آغازگر مستقیم و ۱/۲۵ واحد PCR برداشت شده بود. سپس پنج میکرولیتر فرآورده حاصل از واکنش ساخت رشته cDNA به این ترکیب اضافه گردید. برنامه PCR شامل یک چرخه 94°C به مدت یک دقیقه، ۳۵ چرخه 94°C به مدت ۳۰ ثانیه، 50°C به مدت ۴۵ ثانیه، 72°C به مدت یک دقیقه و چرخه نهایی 72°C به مدت پنج دقیقه اجرا شد. به‌منظور بررسی نتایج حاصل از واکنش-RT-PCR، پنج میکرولیتر فرآورده حاصل از هر واکنش PCR بر روی ژل آگارز $1/2$ درصد، حاوی اتیدیوم برومايد در بافر TBE ۰.۵x، الکتروفورز گردید. الکتروفورز با ولتاژ ۱۰۰ ولت و شدت جریان ۲۴ میلی آمپر به مدت حدود یک‌چونیم ساعت انجام و نتیجه توسط دستگاه عکس‌برداری از ژل (Biomerta, Qiagen) و نور ماورابنفش بررسی شد.

BCIP به غشاء اضافه و تغییر رنگ لکه‌ها تا ۳۰ دقیقه پس از اضافه نمودن ثبت شد.

الایزا

در آزمون الایزا به روش مستقیم (کلارک و آدامز DAS-ELISA(double-antibody sandwich ELISA) (1977) برای ردیابی و شناسایی جدایه‌های CMV از آنتی‌بادی چندهمسانه‌ای و کانجوگیت اختصاصی CMV (DSMZ, Germany) استفاده شد. هم‌چنین، به‌منظور مشخص کردن زیرگروه، آزمون TAS-ELISA با استفاده از آنتی‌بادی تک‌همسانه‌ای اختصاصی زیرگروه انجام گردید (ختارپل و کومار ۱۹۹۵). در روش TAS-ELISA و DAS-ELISA چاهک هر تشک ابتدا با استفاده از آنتی‌بادی پوششی تیمار و مراحل بعدی مطابق روش کلارک و آدامز (1977) انجام شد. نمونه‌های مثبت در آزمون‌های دیبا و DAS-ELISA برای آزمون TAS-ELISA مورد استفاده قرار گرفتند. مطالعه‌های مولکولی روی جدایه‌ای به‌نام Ta-alth انجام شد.

استخراج RNA کل

استخراج RNA کل از ۲۰۰ میلی‌گرم بافت برگ آلوده به جدایه Ta-alth هموژنیزه شده در دو میلی‌لیتر بافر استخراج مطابق روش روحانی و همکاران (۱۹۹۳) انجام و در نهایت سوسپانسیون RNA استخراج شده در ۲۵ میکرولیتر آب مقطر استریل تهیه گردید.

آغازگرها

از یک جفت آغازگر CMVCP-F به عنوان آغازگر مستقیم و CMVCP-R آغازگر معکوس استفاده شد. توالی ۵'AGTGGATCCATGGACA و توالی آغازگر معکوس ۳'AATCTGAATCAACCAG3' نوکلئوتیدی آغازگر مستقیم ۵'AACTTCGAATT(G/T)ACTGGGAGCAC(C/T)CC(A/G)GACGTGGG3' بود که بر اساس توالی جدایه B13 (AY871070) طراحی شدند. تکثیر قطعه‌ای به‌طول حدود ۶۷۵ جفت باز در واکنش RT-PCR مورد انتظار بود.

تجزیه تحلیل از جایه ER *Peanut stunt virus*(PSV) به عنوان عضو برون گروه (out group) استفاده شد.

نتایج

آزمون های سرولوژیک

آزمون دیبا روی نمونه های جمع آوری شده که دارای علائم موزاییک و مشکوک به CMV بودند (شکل ۱)، نشان داد که همه نمونه های مذکور به ویروس موزاییک خیار آلووده می باشند. در آزمون سرولوژیک، از کاغذ نیتروسلولزی استفاده گردید و با توجه به پادتن های استفاده شده، در نمونه هایی که مثبت بودند و آلوگی آن ها به CMV ثابت شد، تغییر رنگ در محل قراردادن عصاره گیاهی به وجود آمد، نتایج این آزمون در مقایسه با نمونه مثبت و منفی و بر مبنای تغییر رنگ لکه های ایجاد شده روی کاغذ نیتروسلولزی، ارزیابی و تفسیر گردید. در برخی موارد، شدت تغییر رنگ جایه ها در زمان مساوی از هم متفاوت بود و می تواند ناشی از تفاوت غلظت ویروس در نمونه های آلووده باشد.



شکل ۱- علائم موزاییک در بوته ختمی در مزرعه، آلوگی این بوته به ویروس موزاییک خیار با استفاده از الایزا، دیبا و RT-PCR مشخص شد

نتایج در TAS-ELISA و DAS-ELISA به صورت تغییر رنگ چاهک های تشکیل ایزا به رنگ زرد، قابل مشاهده بود. نمونه هایی که در آزمون دیبا مثبت بودند در آزمون های

هضم محصول RT-PCR با آنزیم های برشی

قطعات تکثیر شده در RT-PCR با استفاده از آنزیم *MspI* (فرمانتس) مطابق دستور کار شرکت سازنده برای تعیین زیر گروه CMV برش داده شدند. تقریباً 100 نانوگرم از هر محصول PCR در 20 میکرولیتر با فر محدود سازی 1X محتوی μ l BSA 100ng/ μ l و پنج واحد آنزیم، برش داده شد. واکنش به مدت دو الی سه ساعت در دمای 37°C انجام گردید. سپس، محصول برش در ژل آگارز 1/8 درصد مطابق روش ذکر شده الکترو فورز شد.

همسانه سازی و تعیین ترادف نوکلئوتیدی

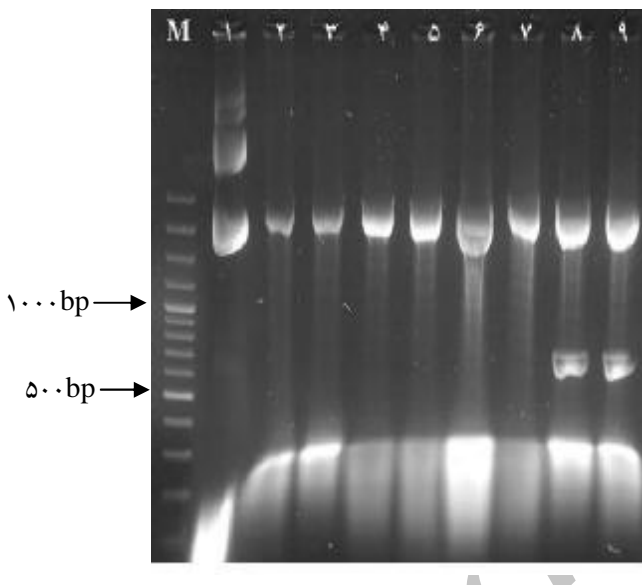
محصول PCR به اندازه قطعه موردنظر در پلاسمید InsT/AcloneTM PCR با استفاده از کیت pTZ57R/T Product Cloning Kit (Fermentas, Lithuania) سازی شد. پلاسمیدها از کلنی های سفید مشاهده شده با روش لیز آکالینی (سمبروک و راسل 2001) و کیت استخراج پلاسمید شرکت کیاژن استخراج شدند و سپس با استفاده از آنزیم های برشی مناسب، حضور قطعه مورد انتظار در پلاسمیدهای نوترکیب تایید گردید. پلاسمید نوترکیب به منظور تعیین ترادف به شرکت Macrogen (کره جنوبی) ارسال شد. تعیین ترادف با استفاده از آغازگر عمومی M13F انجام گردید.

تجزیه تحلیل تبارزایی

داده های نوکلئوتیدی توالی یابی شده با داده های نوکلئوتیدی جایه های ویروس موزاییک خیار که از قبل در پایگاه اطلاعاتی موجود بودند و برخی از جایه هایی که قبل از ایران رديابی شده بودند، با استفاده از نرم افزار GeneDoc هم رديف سازی چندگانه شدند و تجزیه تبارزایی آن ها با استفاده از روش Neighbor-Joining در نرم TREECON صورت گرفت (ون د پیر و واچر 1997). ابتدا فواصل ژنتیکی داده های نوکلئوتیدی بر اساس روش جیوکس کانتر (1969) مشخص شدند و کلیه شاخه ها با ارزش بوت استرپ پایین تر از 70 ادغام گردیدند. در این

برای تایید الحق قطعه درون پلاسمید همسانه‌سازی شده، هضم آنزیمی با استفاده از دو آنزیم EcoRI/BamHI یا آزادسازی قطعه از پلاسمید EcoRI/HindIII انجام و قطعه مورد نظر آزاد شد (شکل 3).

بررسی توالی قطعه مورد نظر در NCBI نشان داد که آن توالی مربوط به ژن پروتئین پوششی ویروس موزاییک خیار می‌باشد. توالی مورد نظر در NCBI با رس‌شمار (Accession Number) JX219970 برای جدایه Ta-alth ثبت شد.



شکل 3- نقوش الکتروفورز واکنش هضم پلاسمید pTZ57R/T
نوترکیب حاوی CMV-CP توسط آنزیم های برشی

EcoRI/ BamHI
M: نشانگر Gene Ruler 100bp DNA Ladder
پلاسمید بدون برش 2 تا 7: کلون های فاقد قطعه 8 و 9: پلاسمید
دارای قطعه ژن پوشش پروتئینی CMV

همردیف‌سازی چندگانه توالی تاکنیه ژنی پروتئین پوششی جدایه Ta-alth با سایر جدایه‌های گزارش شده از ایران و دنیا نشان داد که جدایه موردنظر متعلق به زیر گروه IB می‌باشد. درخت تبارزایی حاصل از همردیف سازی چندگانه با 52 جدایه (جدول 1) از مناطق مختلف دنیا و روی میزبان‌های مختلف نشان داد که جدایه مورد-

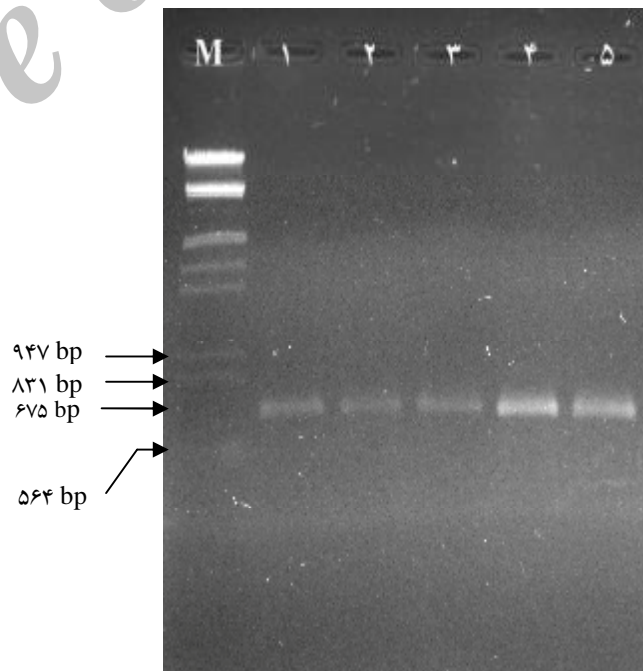
الیزا نیز مثبت ارزیابی شدند. آزمون TAS-ELISA با استفاده از I anti-CMV subgroup به عنوان آنتی‌بادی ثانویه روی نمونه‌های مثبت انجام شد و همه نمونه‌ها در این آزمون در زیرگروه یک قرار گرفتند.

RT-PCR

آزمون RT-PCR آموده RNA کل با استفاده از جفت آغازگر اختصاصی ناحیه ژنی پروتئین پوششی منجر به تکثیر یک قطعه DNA به طول 675 جفت باز (اندازه مورد انتظار) از ژن پوشش پروتئینی CMV شد (شکل 2).

هضم آنزیمی محصول PCR

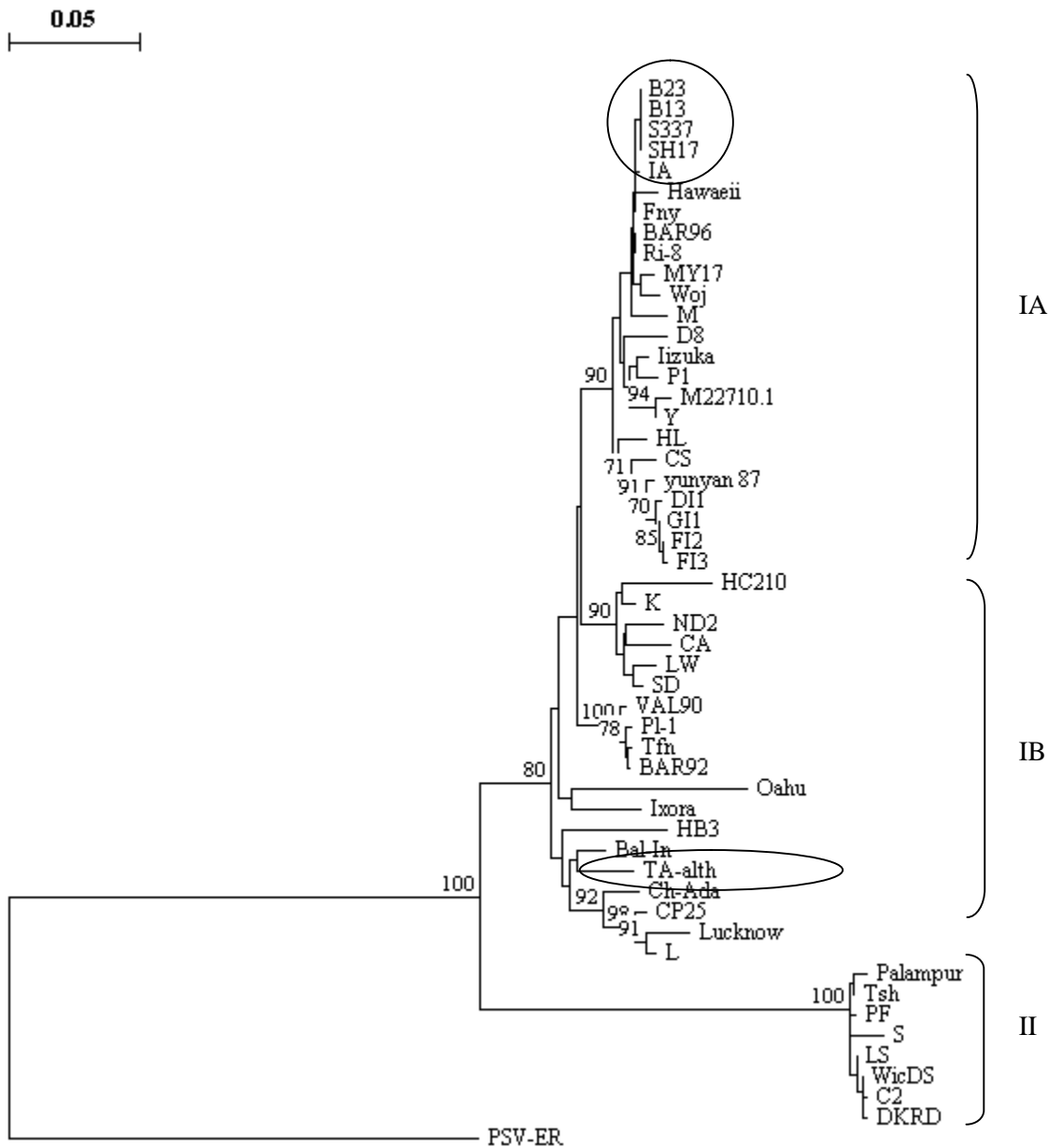
از جدایه‌هایی که در PCR مثبت بودند، برای برش استفاده شد. نتایج نشان داد که پس از برش با آنزیم MspI دو باند 450 و 220 جفت‌بازی در جدایه‌ها به وجود می‌آید که به معنی تعلق این جدایه‌ها به زیرگروه یک CMV می‌باشد.



شکل 2- نقوش الکتروفورز محصول RT-PCR با استفاده از جفت آغازگر CMVCP-F/CMVCP-R

M: نشانگر Gene Ruler 100bp DNA Ladder
1 تا 5: نمونه‌های مثبت آلووده به ویروس موزاییک خیار

نظر همراه با جدایه‌هایی از هندوستان و یک جدایه از چین در یک خوش و در زیرگروه IB قرار می‌گیرد، در حالی که جدایه‌های ایرانی که قبلًاً مورد بررسی قرار گرفته بودند در زیرگروه IA قرار گرفتند (شکل 4).



شکل 4- تجزیه‌تحلیل جدایه‌های ویروس موزائیک خیار شامل جدایه ردیابی شده از *Althaea officinalis* بر اساس ژن رمز کنترل پروتئین پوششی. درخت بر اساس روش Neighbour-Joining در نرم افزار TREECON ترسیم شده است. درجه اطمینان بیش از 70 درصد در بالای شاخه‌ها نمایش داده شده و جدایه Ta-alth با بیضی و جدایه‌های ایرانی که قبلًاً ردیابی شده بودند با دایره مشخص شده است. PSV-ER به عنوان عضو برون گروه انتخاب گردید.

جدول ۱- رس شماره، منشا (کشور) و میزبان های جدایه های مختلف CMV موجود در بانک ژن NCBI که در بررسی های مولکولی این تحقیق مورد استفاده قرار گرفته است

رس شماره	کشور	میزبان	جدا ایه یا استرین
AY871071	ایران	خیار	B23
AY871070	ایران	خیار	B13
AY871069	ایران	<i>Cucumis sp.</i>	S337
AY871068	ایران	خیار	SH17
AB042294	اندونزی	-	IA
AJ829777	اسپانیا	-	BAR96
U31219	هاوای	<i>Musca sp.</i>	Hawaiii
U20668	آمریکا	-	Fny
AF127977	چین	-	K
AB008777	چین	-	SD
AB042294	اندونزی	-	IA
D105381			Ri-8
AM183119	اسپانیا	گوجه فرنگی	
AF103993	ژاپن	-	MY17
FJ621496	لهستان	<i>Cucumis sativus</i>	Woj
D10539	آمریکا	-	M
AB004781	ژاپن	-	D8
D16405	ژاپن	لگوم	Iizuka
AJ006988	چین	-	P1
M22710	ژاپن	-	M22710
D12499	ژاپن	-	Y
AB049568	ژاپن	-	HL
D28489	ژاپن	-	CS
JF327832	چین	<i>Nicotiana tabacum</i>	yunyan 87
DQ002876	ایران	-	DI1
DQ002885	ایران	خیار	GI1
DQ002884	ایران	کدو	FI2
DQ002883	ایران	کدو	FI3
X65017	چین	-	HC210

ادامه جدول ۱

ND2	<i>Petunia hybrida</i>	چین	EU414786
CA	<i>Arachishis pogaea</i>	هلند	AY429432
LW	توتون	چین	EU414784
VAL90	گوجه فرنگی	اسپانیا	AJ829779
Pl-1	گوجه فرنگی	اسپانیا	AM183116
Tfn	گوجه فرنگی	ایتالیا	Y10886
BAR92	گوجه فرنگی	اسپانیا	AJ829778
Oahu	موز	آمریکا	U31220
Ixora	گوجه فرنگی	آمریکا	U20219
HB3	فلفل	چین	FJ788416
Bal-In	خربزه	هندوستان	JF279609
Ch-Ada	<i>Capsicum annuum</i>	هندوستان	FJ168035
CP25	<i>Physalis minima</i>	هندوستان	X89652
Lucknow	<i>Chrysanthemum morifolium</i>	هندوستان	EF153733
L	<i>Hyoscyamus muticus</i>	هندوستان	AF350450
Palampur	<i>Cucumis sativus</i>	هندوستان	HE583224
Tsh	گوجه فرنگی	چین	EF202597
PF	سیب زمینی	ژاپن	AB368501
S	-	آمریکا	AF063610
LS	-	آمریکا	AF127976
WicDS	<i>Lonicera caprifolium</i>	لهستان	EU191027
C2	<i>Cucurbita pepo</i>	لهستان	HM480051
DKRD	<i>Spinacia oleracea</i>	آمریکا	U10922
Ta-alth	<i>Althaea officinalis</i>	ایران	JX219970

جدایه‌ها قابل مشاهده است (سخنдан و همکاران 2008) که چنین علائمی در گیاه ختمی نیز قابل مشاهده بود (شکل ۱). با این وجود، این ویروس دامنه گسترده‌ای از علائم را روی میزبان‌های مختلف ایجاد می‌کند (سخندان و همکاران 2006). تفاوت و گسترده‌گی علائم می‌تواند از عوامل زیادی ناشی شده باشد. یکی از این عوامل آلودگی همزمان و مخلوط این ویروس با سایر ویروس‌ها می‌باشد که در برخی از موارد سبب تشدید علائم و یا کاهش آن می‌شود (سخندان و همکاران 2006، 2008). نتایج آزمون الیزا و

بحث

به دلیل اهمیت گیاهان دارویی و فراورده‌های آن‌ها، شناسایی بیمارگرهای آن‌ها مانند ویروس‌ها در پرورش و تولید این نوع از گیاهان امری ضروری به‌نظر می‌رسد، زیرا ممکن است عوامل بیماری‌زا اثر محدودکننده رشد و تغییر ترکیبات و خواص فرآورده‌های این نوع از گیاهان را به‌دبیال داشته باشند. علائم ایجاد شده توسط جدایه‌های مختلف CMV دامنه بسیار وسیعی دارد. برخی از علائم ایجاد شده توسط CMV مانند موزاییک تقریباً در همه

جدایه‌ها استفاده کردند (ریزوس و همکاران 1992، سخنداو و همکاران 1997). وجود دو باند مجرا نشان-II دهنده عدم وجود آلدگی مخلوط احتمالی با زیر گروه CMV برای می‌باشد. مشخص نمودن زیرگروه‌های CMV شناسایی و فهم واکیری ویروس امر مهم و ضروری به نظر می‌رسد (یو و همکاران 2005). همچنین ردیابی جدایه‌های CMV و ارزیابی تنوع ژنتیکی آن‌ها مرحله مهمی در کنترل ویروس، بهویژه در استفاده از مهندسی ژنتیک می‌باشد (لين و همکاران 2003).

مطالعه‌های تبارزایی جدایه‌های CMV ردیابی شده از ایران نشان داده است که این جدایه‌ها در زیرگروه IA قرار می‌گیرند اما این تحقیق نشان داد که جدایه Ta-alth زیرگروه IB قرار می‌گیرد (شکل 4). نتایج بررسی‌های پیشین نشان می‌دهند که جدایه‌های CMV متعلق به زیرگروه I بر اساس منشا به دو زیرگروه تقسیم می‌شوند به‌طوری که جدایه‌های متعلق به زیرگروه IB تنها در آسیا دیده می‌شوند و زیرگروه IA در همه مناطق وجود دارد (پالوکایتیس و زایتلین 1997). با این وجود سایر مطالعه‌ها نشان داد، جدایه‌هایی از آمریکا و اروپا نیز در زیرگروه IB قرار می‌گیرند، اما فراوانی کمتری نسبت به نمونه‌های آسیایی دارند. در درخت تبارزایی رسم شده در تحقیق حاضر نیز، چهار خوش مجرا در زیرگروه IB وجود دارند که یک خوش شامل پنج جدایه از هندوستان و یک جدایه با قرابت کمتر از چین بود (شکل 4). همان‌طور که در جدول 1 نشان داده شده است میزانهای جدایه‌های قرار گرفته در این خوش متنوع می‌باشند و شامل کدوئیان و غیرکدوئیان می‌شود. این امر نشان می‌دهد که جدایه‌های متعلق به زیرگروه II دارای تنوع بالای میزانی می‌باشند که می‌توانند کدوئیان و غیرکدوئیان را آلوده نمایند. جدایه تعیین توالی شده ختمی (Ta-alth) نیز به همراه جدایه‌های هندوستان در این خوش قرار گرفتند. همان‌طور که قبل از بیان شد نمونه‌هایی از آمریکا و اروپا نیز در خوش‌های مجرا در زیرگروه IB جای دارند. احتمالاً گونه میزان در پیدایش زیرگروه‌های متفاوت CMV نقش دارد، زیرا نمونه-

دیبا نشان داد که جدایه مورد نظر متعلق به زیرگروه I ویروس موزاییک خیار می‌باشد. گونه‌های میزانی احتمالاً عوامل مهم در پیدایش زیرگروه‌های متفاوت CMV هستند، طوری که اکثر جدایه‌های گزارش شده از کدوئیان متعلق به زیرگروه I می‌باشند. در این مطالعه، برای گروه‌بندی سرولوژیکی، از روش TAS-ELISA استفاده شد که از آنتی‌بادی چندهمسانه‌ای به عنوان آنتی‌بادی اولیه و از آنتی‌بادی تکهمسانه‌ای (ویژه زیرگروه I) به عنوان آنتی‌بادی ثانویه استفاده گردید. آنتی‌بادی‌های چندهمسانه‌ای، به دلیل این‌که در مقابل اپی‌توبهای مشترک بین دو زیرگروه واکنش می‌دهند، برای تمایز جدایه‌های متعلق به دو زیرگروه مناسب نمی‌باشند. به کارگیری آنتی‌بادی چندهمسانه‌ای (پوشش داده شده به چاهک) در TAS-ELISA، این روش را برای تمایز سرولوژیکی جدایه‌های متنوع CMV مناسب می‌سازد. استفاده از روش‌های سرولوژیکی برای ردیابی و تعیین زیرگروه‌های CMV عاری از مشکل نبوده و همچنین قادر به تفکیک زیرگروه و IB نمی‌باشد. برای رفع این مشکل، در این بررسی از روش حساس‌تر RT-PCR برای ردیابی و در نهایت تعیین نوع زیرگروه استفاده شد. همان‌طور که اشاره گردید علاوه بر کاربرد RT-PCR برای ردیابی، کارهای بعدی از قبیل تعیین توالی نوکلئوتیدی و همسانه‌سازی و بررسی‌های برش آنزیمی (RFLP) (ریزوس و همکاران 1992) نیز به عنوان دیگر اهداف کاربرد این فناوری مدنظر بود. PCR به تنهایی با استفاده از آغازگرهای مورد استفاده نمی‌تواند برای گروه‌بندی جدایه‌های این ویروس کمک کند، زیرا این آغازگرها بر اساس مناطقی از ژنوم ویروس طراحی شده‌اند که در تمامی جدایه‌های این ویروس مشابه هستند. در همین رابطه، برای گروه‌بندی جدایه مورد مطالعه برش آنزیمی با استفاده از *Msp*I روی قطعه DNA تکثیریافته با PCR انجام گرفت و نشان داد که جدایه مورد نظر به زیرگروه I تعلق دارد. زیرا در این تجزیه تحلیل دو قطعه به اندازه‌های 400 جفت باز و حدود 220 جفت باز حاصل شدند. سایر محققین نیز از این روش برای گروه‌بندی

در این تحقیق، ویروس موزاییک خیار برای اولین بار از گیاه دارویی ختمی ریدیابی و شناسایی شد. پس از همسانه‌سازی و تعیین توالی ناحیه ژنی پروتئین پوششی، تعلق آن به زیرگروه IB ویروس موزاییک خیار تایید شد که با جدایه‌های هندوستان و جدایه‌ای از چین در یکخوشه قرار گرفت.

هایی که قبل از منطقه مورد مطالعه ریدیابی شده‌اند بیشتر از میزبان‌های کدوئیان بوده و متعلق به زیرگروه IA هستند. از طرف دیگر، اکثر نمونه‌هایی که در زیرگروه IB قرار گرفته‌اند از میزبان‌هایی به جز کدوئیان جداسازی شده‌اند.

منابع

- Ball EM, 1990. Agar double diffusion plates (Ouchterlony): Viruses. Pp. 111-120 In: Hampton R, Ball E and DeBoer S (eds). Serological Methods for Identification of Viral and Bacterial Plant Pathogens, A Laboratory Manual. APS Press, Minnesota.
- Bonnet J, Fraile A, Sacristán S, Malpica JM and García-Arenal F, 2005. Role of recombination in the evolution of natural populations of *Cucumber mosaic virus*, a tripartite RNA plant virus. *Virology* 332: 359-368.
- Clark MF and Adams AN, 1977. Characteristics of the microplate method of enzyme-linked immunosorbent assay for the detection of plant viruses. *Journal of General Virology* 34: 475-483.
- Davino M, Bellardi MG, Di Bella M, Davino S and Bertaccini A, 2005. Characterization of a *Cucumber mosaic virus* isolate infecting *Mandevilla sanderi* (Hemsl.) Woodson. *Phytopathologia Mediterranea* 44: 220-225.
- Davino S, Panno S, Rangel AE, Davino M, Bellardi GM and Rubio L, 2012. Population genetics of cucumber mosaic virus infecting medicinal, aromatic and ornamental plants from northern Italy. *Archives of Virology* 157: 739-745.
- Escriu F, Fraile A and García-Arenal F, 2003. The evolution of virulence in a plant virus. *Evolution* 57(4): 755-765.
- Gallitelli D, 2000. The ecology of *Cucumber mosaic virus* and sustainable agriculture. *Virus Research* 71: 9-21.
- Jukes, TH and Cantor CR, 1969. Evolution of protein molecules. Pp. 21-123. In: Munro HN, (ed.). *Mammalian protein metabolism*. Academic Press, New York.
- Khetarpel RK and Kumar CA, 1995. ELISA methodology. Pp. 329-341. In: Singh PR, Singh SU (eds.). *Molecular Methods in Plant Pathology*, Lewis Publishers, Boca Raton.
- Lin HX, Rubio L, Smythe A, Jiminez, M and Falk BW, 2003. Genetic diversity and biological variation among California isolates of *Cucumber mosaic virus*. *Journal of General Virology* 84: 249-258
- Palukaitis P, and Zaitlin M 1997. Replicase-mediated resistance to plant virus disease. *Advance Virus Research* 48: 349-377.
- Rizos H, Gunn LV, Pares RD and Gillings MR, 1992. Differentiation of cucumber mosaic virus isolates using the polymerase chain reaction. *Journal of General Virology* 73: 2099-2103.
- Rowhani A, Chay C, Golino DA and Falk BW, 1993. Development of a polymerase chain reaction technique for the detection of grapevine fanleaf virus in grapevine tissue. *Phytopathology* 83: 749-758.
- Sambrook J and Russel DW, 2001. Molecular cloning: A Laboratory Manual (Vol3). Cold Spring Harbor Laboratory Press. Cold Spring Harbor, New York.
- Sokhandan NB, Gillings MR and Bowyer JW, 1997. Polymerase chain reaction detection and assessment of genetic variation in New South Wales isolates of passionfruit woodiness potyvirus. *Australasian Plant Pathology* 26: 155-164.
- Sokhandan NB, Kalhor MR and Nourinejad SZ, 2006. Detection, differentiation and phylogenetic analysis of cucumber mosaic virus isolates from cucurbits in the northwest region of Iran. *Virus Genes* 32: 277-288.

Sokhandan, NB, Nematollahi S and Torabi E, 2008. Cucumber mosaic virus subgroup IA frequently occurs in the northwest Iran. *Acta Virologica* 52: 237-242.

Sutovska M, Nosalova G, Sutovsky J, Franova S, Prisenznakova L and Capek P, 2009. Possible mechanisms of dose-dependent cough suppressive effect of *Althaea officinalis* hamnogalacturonan in Guinea pigs test system. *International Journal of Biological Macromolecules* 45: 27-32.

Van de Peer Y and Wachter RD, 1997. Construction of evolutionary distance trees with TREECON for Windows: accounting for variation in nucleotide substitution rate among sites. *Bioinformatics* 13: 227-230.

Yu C, Wu J and Zhou X, 2005. Detection and subgrouping of *Cucumber mosaic virus* isolates by TAS-ELISA and immunocapture RT-PCR. *Journal of Virological Methods* 123: 155-161.

Molecular Identification and Phylogenetic Analysis of *Cucumber Mosaic Virus IB* Subgroup from *Althaea officinalis*

D Koolivand^{1*}, N Sokhandan Bashir² and S Nematolahi³

¹ PhD Student of Plant Pathology, Dept of Plant Protection, Faculty of Agriculture, University of Tabriz, Tabriz, Iran

² Associate Professor, Dept of Plant Protection, Faculty of Agriculture, University of Tabriz, Tabriz, Iran

³ Assistant Professor, Dept of Plant Protection, Faculty of Agriculture, Azad Islamic University of Tabriz, Tabriz Branch, Tabriz, Iran

*Corresponding author: D.koolivand@gmail.com

Received: 13Aug 2012

Accepted: 12 Des 2012

Abstract

Cucumber mosaic virus (CMV) belongs to the genus *Cucumovirus* in the family *Bromoviridae*. *Althaea officinalis*, commonly known as hollyhocks in the family Malvaceae, is an annual plant whose fruit, flower and root are used as medicinal products. In this study, five samples of hollyhocks leaves with viral symptoms were collected and CMV was detected using DAS-ELISA from the samples. Ta-alth isolate was selected and total RNA extracted. The PCR reaction was performed using CMV-CPF and CMV-CPR primer pair corresponding to the CP region of CMV and as a result, a 675 bp band was amplified. The amplified fragment inserted into pTZ57R/T and transformed into competent cells of *E. coli* strain DH5α. Extracted recombinant plasmid was analyzed by restriction analysis then sequencing. The GeneDoc was used to compare the generated CP sequence with the counterpart segment of previously reported CMV isolates from Iran and other parts of the world available in GenBank. A phylogenetic tree was generated with Neighbor-Joining (NJ) method in TREECON program which showed that the Ta-alth isolate belonged to subgroup IB of CMV. This is the first report of CMV from *Althaea officinalis* in Iran.

Keywords: Cloning, Phylogeny, *Althaea officinalis*, *Cucumber mosaic virus*